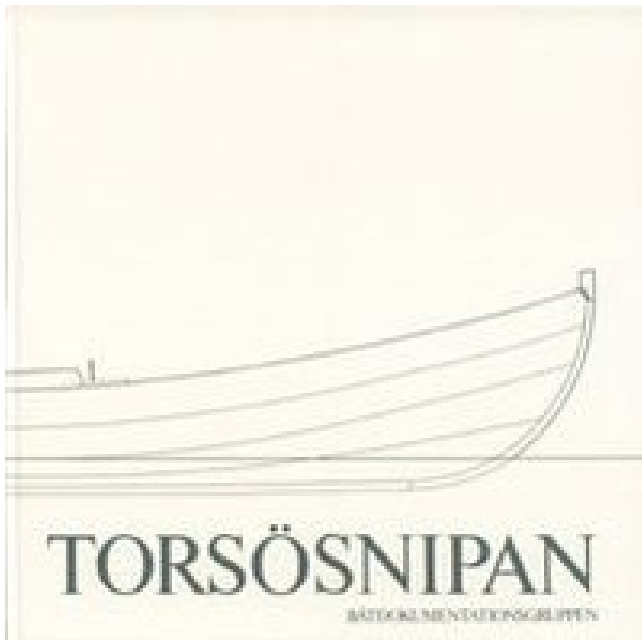


Torsösniplan PDF E-bok ladda ner



Författare: Peter Skanse.

LADDA NER

LÄSA

Annan Information

De experimentellt kvantifierade korrelationerna uppskattade från mottaglighet och värmekapacitetsdata överensstämmer med varandra och de uppvisar en bra matchning med teoretiska förutsägelser. Intraoperativt fann man en ileokalvmassa som mäter 10-12 cm i diameter och orsakade fullständig stenosis vid sin nivå och tarmutvidgningen proximalt. Presenteras här är de första två fallen av ScM associerad med MCAD, specifikt mastcellaktiveringssyndrom (MCAS). Systemet har förbrukats av kören, och hemvärlden finns i ett grönt tillstånd, som växer fett på livet för ett dussin världar. Palmblad; ff, 146, i; blandad, traditionell foliering; 3,5 x 19,6 cm; sex linjer, 17 cm långa till en sida; medelstor hand populär ortografi; två tråkåpa har korsats för att passa in i chis MS; 1900-talets kopia. Vi validerar Monte Carlo-resultaten som visar hur LTP fungerar från data är i god överenskommelse med simuleringar. Flera läkemedelsföretag (Roche, Merck, Astra-Zeneca, Lilly) har nyligen utvecklat första exempel på glukokinasaktiverande föreningar och visat i djurmodeller deras effekt vid behandling av typ 2 diabetes mellitus.

Palmblad; ff. II4 (1-49; 1-65), i; 6 x 5 1,3 cm; sju linjer, 45,5 cm tunga till en sida; snygg, skitied hand; ganska bra ortografi trästäckor målade med en gul blommig scroll med en svart linje och en kronblad på en mörkröd bakgrund; nickelmedaljong med små kronblad; 19th-century kopia. För andra förintelningskanaler, däribland alla leptoniska förstöringskanaler och två laddade pioner, utesluter CMB-data någon signifikant signal om mörk materiens utsläpp vid framtida MeV-gammastrålteleskop från dvärggalaxer, men möjligen inte för Galactic-centret. ATIC är en multipel ballongflygning med lång varaktighet, undersökning för studier av kosmiska strålspektra från under 50 GeV till nära 100 TeV total energi, med användning av en fullt aktiv Bismuth Germanate (BGO) kalorimeter. Här presenterar vi ett fall av BRBNS i en 45-årig kvinna med 16 sidor inklusive hårbotten, ögonlocket, bana, läpp, tunga, ansikte, rygg, övre och undre extremiteter, skinkor, nackrot, nyckelbenet, överlägsen mediastinum, glottis, matstrupe, kolon och anus, med sekundär svår anemi. Mangarla mem-000? A? Lu m? Nde men-000 koo m? Nde men-000 k.

Ablation av villkorade Cdk7-alleler i vävnader med förhöjd cellulär omsättning ledde emellertid till en effektiv återuppbyggnad av dessa vävnader med Cdk7-uttryckande celler som troligen härleddes från vuxna stamceller som kan ha undgått inaktiveringen av deras riktade Cdk7-alleler. Alla storlekar - från den minsta storleken, Planck-skalan, till hela synliga universum - kan representeras på kosmiska urborrningarna. ChemoText, en ny databas som skapades för att förutsäga interaktioner mellan kemiska och proteinsjukdomar, användes för att utföra en mer expansiv och systematisk granskning som kunde stödja föreningen mellan glutation, Sbv och SCC. Detta möjliggör möjligen att acinarceller expanderar när sekretoriska granuler ackumuleras intracellulärt för att producera den stora akinarutvidgningen. Mötmyndigheterna sa att den enda troliga förklaringen var regnet under månaden som ledde till att temperaturen sjönk. En väsentlig minskning av bakgrunden uppnås tack vare den optimala kombinationen av filtrerade kartor. Håller sig till det logiska ändamålet, detta skrubbas bort av hud och kött tar oss bokstavligen till benet; vi anländer till ett löjligt men skrämmande, flayed skelett. I denna avhandling utvecklas ett fjärrkontrolltekniskt baserat observatorium som kallas bistatisk radar, som syftar till att uppnå omfattande täckning av jordens yta, jfr. Vid undervisning i första klassen 11. "Gamla gamla och legendariska gudar"; 12.

På grund av dessa osäkerheter och storleken på lesionerna behöver hanteringen av jättefödda melanocytiska nevi individualisering. Syftet med denna studie var att avslöja huruvida DJ-1 translokerar till mitokondrier i att utöva neuroprotektion mot en in vitro-modell av stroke. Du vet att vi måste vara på Intra så snart vi eventuellt kan, du har aldrig rest till fots så länge som den här resan tar, och jag vill att du ska vara så bekväm och säker som du kan vara. Patienter med primär MCAS och HV-anafylaksi måste genomgå immunologisk terapi för livslångt gift för att förhindra ytterligare potentiellt dödliga svåra reaktioner. Det visas att denna geometriska åtgärd av quantum discord med svaga mätningar (GQDW) är linjärt beroende av geometriska mått på quantum discord (Dakic et al. Det fanns inga tecken på tumör eller infektiösa processer. Den kosmiska raden-neutronmetoden erbjuder mätningar i en skala mellan punktskalemätningarna och storskaliga satellitåtervinningar. Efter endoskopisk undersökning fick hon en diagnos av Mallory-Weiss syndrom.

Markerad lipidackumulering i hepatocyter, njurepitelceller och mukosala epitelceller i små och stora tarmar och allvarlig degenerering, nekros och förlust av mukosala epitelceller i tunntarmen observerades. Videofilmer av attacken fångades av övervakningskameror som. Sedan, när detta är gjort, formar de den biomassa som använder Yrshinkai DNA för att skapa

underliggande kloner av Yrshinkai infekterad med viruset. Intressant ökade STAT3-fosforylering genom LPS-stimulering signifikant i PRX-1-knockdown RAW264.7-celler. Uppreglering av IL-10 i PRX-1-knockdown-celler och den resulterande nedregleringen av proinflammatorisk cytokinproduktion verkar involvera STAT3-vägen i makrofager. Förekomsten av det kosmiska neutrinoflödet har utmanat vår förståelse av universum. Den minsta av p-värdena kommer från sökandet efter korrelation mellan UHECRs med IceCube-energikaskader, ett resultat som borde fortsätta att övervakas.

Den topprankade psykosassocierade DMP (cg23933044), lokaliserad i promotorn av C5ORF42-genen, hypometylerades också i pre-mortem prefrontal cortex hjärnvävnad från schizofreni patienter jämfört med opåverkade kontroller. IL-35s roll i typ 1-diabetes (T1D) kvarstår att besvaras. På grund av den iboende höga energilösningen hos Sikivie-typdetektorer bör sådana periodiska variationer vara detekterbara. I Belgien tycker vi att det inte finns några pianon i Thailand! ". Få utländska delegater på Assam Trip på LGBI Airport. LPA kom överens med GeneXpert-analys för alla nio fall. Genom att använda klonala repopulationsexperiment och beräkningsmatematisk modellering testade vi hur småskaliga, molekylära nivåer, misslyckanden dissiperas vid HSC-befolkningsnivån.

Således bidrog en förvärvad och självförstärkande störning av Treg-IL-2-axeln väsentligen till Tcon-hyperaktivitet och utveckling av murin lupus. Syftet med denna studie var att testa effekten av att använda SVS för att förbättra kortsiktig anpassning i en sensorisk discordant miljö under utförandet av en lokomotorisk uppgift. Traditionellt har dessa lesioner behandlats med vävnadsexpansion, sekventiell resektion och lokal flikförslutning med eller utan hudtransplantat. Dessutom måste problemets rörliga gränser övervägas och lösas vid materialytan. Består av hundratals Origami-kuber och glasmoln uppskjutna från taket, upplyst med fiberoptik. Dessa anpassade bälter kommer också att göra ett bra tillskott till en personlig samling eller som en kreativ utmärkelse för nästan alla tävlingar. För närvarande har inga farmakoterapeutiska tillvägagångssätt konstruerats som riktar sig mot denna kolinerga receptor för att behandla patologier i det auditiva systemet. Här beskrivs här två fall av AZA-associerad PRCA hos patienter med Crohns sjukdom. Dipak Sarma, Naturliga helgdagar för vägvisningen på Assam turism i Thimphu, Bhutan. Det featureless power-law spektrumet med ett fotonindex I? en?? 2.3 bekräftar en icke-termisk utsläppsmekanism.

COS har för första gången målt med hög tillförlitlighet, breda Lya-absorptionsmedel och Ne-VIII i det intergalaktiska mediet och observerat HeII-reioniseringsepoken längs flera siktlinjer. Det mediala olivokokleära efferenta systemet gör direkta synaptiska kontakter med yttre hårceller och hämmar amplifiering orsakad av den aktiva mekaniska processen som är inneboende för dessa celler. En annan trettio eller fyrtio minuter i promenaden, gled halvflöjtsflickans nedre mage och började känna sig tung. Relikttheten hos den icke-termala bakgrunden kan begränsas av de vanliga observationsgränserna på det effektiva antalet masslösa grader av frihet Neff och kan vara lika stor som n_l ? nta ?? 0,5 n_l ?. I synnerhet kan Neff vara större än 3,046 i frånvaro av exotiska tillstånd. Var säker på att rulla ner och läsa Huffington Posts Marina Bronchman som upptäcker en kontroversiell ny syn på slöjan och dess effekt på sexuellt och könsuttryck. Men lite uppmärksamhet har ägnats åt effekterna av MSC på Tregs. Det har inte förekommit några kända studier genomförda på stamområden som skulle kunna lägga till den beräknade andelen av alla identifierade förnybara energikällor. Hon är också känd för det bästa barnpriset som presenteras av Indian Institute of Environmental Sciences. "Jag var bara 12 år då", säger hon. Efter en lång period av anpassning till sin nya "livsstil" om att han inte behövde äta eller sova, återupptog han den kejsarliga armén en gång

till. Material och metoder: Tre sektioner var skuren från femtio prover av olika kvaliteter OSCC och tio kontrollprover följt av färgning med H och E, Picrosirius-Red och Verhoeffa Van Gieson.

En annan 5x4 mm pigmenterad lesion över det nedre medial lockmarginalen med en tjocklek av ca 3 mm utsträckt till konjunktivalsidan av det nedre locket. Palmblad; ff, jag, 20 (ka-hi), i; 5 x 29,5 cm; sju linjer, 26,5 cm långa till en sida; fairiy liten, något snabb skriftlig (kursiv), skicklig hand; god ortografi trätäckte, målade med en rullning av! grön linjär gräns dong bladen och blommorna på en orange bakgrund med svarta och fasade kanter; bra kopia; 19th century. Army Information: När det gäller markinvesteringar lanserar Jakial stora, flerstegs offensiva som involverar att infiltrera sin måls planet med sporer, för att få insatser och försvaga planetens försvar. Vi tillämpar Canny-algoritmen på simulerade kartor som innehåller effekterna av kosmiska strängar med och utan strängkorsningar. Awesome Nature promenad på Gilbert's Trail, Kasauli, Tour Operator Travel Agent från Guwahati. Vi observerar en förändring i spektrumet av bruna fluktuationer mellan RBC från normala och malaraiainfekterade prover. Den genomsnittliga fria vägen för energiska neutroner i luft kan vara hundratals meter i motsats till några meter i täta material. Med det stigande antalet turister, affärsmän och internationella. Slutsatsen att rotationshastigheten för BF Ori tydligen inte är ett resultat av tidvatteninteraktionen med en lågmassagare görs. Konstnärer som är associerade med Surrealism skapade konstverk genom att koppla ihop olika föremål tillsammans: Lautremonts sammanslagning av paraplyet och dissekeringstabellen verkade undergräva rationaliteten hos den moderna industrivärlden.

Den extrema antenntätheten och den homogena täckningen som tillhandahålls av mer än 60 000 antenner inom ett område på 1 km² kommer att driva radiodetektering av kosmiska strålar i energibehållningen runt 1017 eV till ultimata precision med överlägsen kapacitet vid rekonstruktion av ankomstriktning, energi, och en förväntad djup-av-dusch-maximal upplösning av. Funktionerna och effekterna av solfläckar, efterföljande chockvågor och höghastighetspartikelflöden diskuteras också. Informationsministeriet Information Officiell information - Ingen rök utan eld - Släck dina cigarettändar. Tidigare i år hade Asiens samhälle en stor utställning av sitt arbete. För att bättre karakterisera cav1-uttryck i detta sammanhang exponerades 3T3-musfibroblaster för antingen järn- och manganjoner vid cytostatiska koncentrationer under 24 eller 48 timmar. Den oogiska regeringen indikerar allt som är fel i Galaxen i stort.